

- новича «Точное решение плоской задачи теории упругости для анизотропной пластинки с криволинейным отверстием». Изв. АН СССР. МТТ, № 6, 1979.
9. Мартынович Т. Л. К обоснованию решения плоской задачи теории упругости для анизотропной пластинки с криволинейным отверстием. Изв. АН СССР. МТТ, № 6, 1979.
10. Александров В. М., Сумбатян М. А. Об одном подходе к решению плоской задачи теории упругости для анизотропной пластинки с криволинейным отверстием. Изв. АН СССР. МТТ, № 6, 1979.

Москва

Поступила в редакцию
25.II.1982

УДК 539.3

РАЗДЕЛЕНИЕ ПЕРЕМЕННЫХ В ОБРАТНОЙ ОСЕСИММЕТРИЧНОЙ ЗАДАЧЕ ТЕОРИИ УПРУГОСТИ

ВИГДЕРГАУЗ С. Б.

Обратная задача теории упругости для многосвязного однородного и изотропно-го пространства S с полостями, нагруженного на бесконечности усилиями $\sigma_x^\infty = q_1$, $\sigma_y^\infty = q_2$, $\sigma_z^\infty = q_3$, $q_1, q_2, q_3 \geq 0$, состоит в определении формы гладкой границы $\Gamma = \cup \Gamma_l$, $l=1, n$ замкнутых, непересекающихся полостей, доставляющих минимум максимуму (по области) плотности интеграла энергии формоизменения — локальному критерию Мизеса $F(x, y, z) = I_1^2 - 3I_2$ [1]; I_1, I_2 — инварианты тензора напряжений. Оптимальная в таком смысле граница позволяет увеличить действующую нагрузку до наибольшего возможного предела, при котором ни в одной точке S еще не возникает пластичности.

К настоящему времени по этой задаче имеются определенные результаты. Так, в [2] получены необходимые условия глобального оптимума, а для двумерного случая плоскости с различно расположенными отверстиями в [3–4] найдена и сама граница — методами конформных отображений. Отсутствие их эффективного пространственного аналога серьезно затрудняет процедуру решения рассматриваемой задачи. Установлено [2], что при $n=1$ оптимальной является полость в форме трехосного эллипсоида с отношением осей, зависящим от нагрузки. В публикуемой статье приводится способ отыскания границы для более сложного случая двух одинаковых полостей при наличии силовой и геометрической симметрии задачи по оси цилиндрической системы координат (z, r, θ) , когда $q_1 = q_2$, а полости в форме тел вращения расположены симметрично относительно плоскости $z=0$ и пересекают ось Z в точках $-b_2, -b_1$ и b_1, b_2 соответственно, $b_2 > b_1 > 0$.

В [5] показано, что при этом функция Лява $\chi(z, r)$ прямой задачи гармонична в области с оптимальной границей, а для ее производной $\varphi(z, r) = \partial\chi(z, r)/\partial z$ на искомых поверхностях одновременно выполняются краевые условия Дирихле и Неймана:

$$\begin{aligned} \varphi(z, r) &= az + C_l, & \partial\varphi/\partial v &= -\partial z/\partial v \\ z, r &\in \Gamma_l, & l &= 1, 2, & a &= (2q_1 - q_3)/q_3 \end{aligned} \quad (1)$$

где C_l — постоянные, v — внутренняя для S нормаль к Γ .

Специальный вид правых частей позволяет установить аналогию с расчетом течения твердых тел идеальной жидкостью, поляризации диэлектриков во внешнем однородном электростатическом поле, а также с обратной задачей для ньютоновского потенциала [6] — об определении формы системы однородных тел, внутри которых он является заданной квадратичной формой от z, r . В плоском случае эти аналогии отмечались ранее [1, 3]. В [7] на их основе для произвольной системы тел усилена теорема Поля — Шиффера [8].

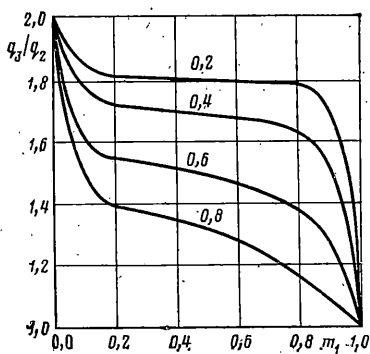
Из (1) следует, что $\varphi(z, r)$ продолжима внутрь полостей (по непрерывности своей нормальной производной) гармонической функцией $C_l - z$, а значит, представима всюду потенциалом двойного слоя с плотностью $(a+1)z$. Это представление, записанное на границе, дает нелинейное интегральное уравнение относительно функций $z(s), r(s)$, определяющих меридиональное сечение оптимальных полостей в параметрической форме, s — длина дуги, d_l — постоянные

$$z(s) + d_l + \lambda T_\Gamma(z(s) + d_l) = 0; \quad \lambda = q_1/(q_1 - q_3) \quad (2)$$

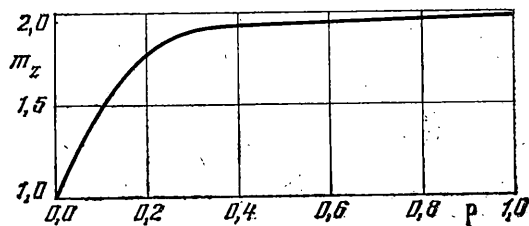
где T_Γ — интегральный оператор потенциала двойного слоя. Спектр оператора T_Γ для произвольной области не лежит внутри единичного отрезка [9], поэтому для разрешимости (2) необходимо, чтобы $\lambda > 1$, т. е. $0 < q_3 \leq q_1$ или $\lambda \leq -1$, т. е. $q_1 \leq q_3 \leq 2q_1$. В частном случае $n=1$ это условие найдено в [5].

Из результатов [10] следует, что уравнение (2) при $n=2$ редуцируется к простой форме (h — постоянная интегрирования):

$$\frac{z_0^2}{2a} + \frac{d_2 z}{a} + h = \int_{b_1}^{b_2} \left\{ \sqrt{r^2 + (z - z_0)^2} + \sqrt{r^2 + (z + z_0)^2} \right\} dz \quad (3)$$



Фиг. 1



Фиг. 2

Функция $r=r(z)$, задающая форму сечения оптимальной границы, с необходимостью является решением уравнения (3).

Второе подынтегральное слагаемое в (3) описывает взаимное влияние полостей на их форму. При $b_1, b_2 \rightarrow \infty$ оно исчезает, что отвечает случаю $n=1$, когда оптимальной полостью, как указывалось, является эллипсоид вращения, т. е. координатная поверхность в ортогональных криволинейных переменных, разделяющая уравнение Лапласа. По аналогии можно предположить, что это свойство сохраняется и при $n=2$. Такие переменные для осесимметричных областей различной связности изучались Вангерином [11], показавшим, что при $n \geq 3$ их не существует, а при $n=2$ все они с точностью до масштаба порождаются конформным отображением в меридиональной плоскости $z+ir=f(u+iv)$, где f — произвольная эллиптическая функция. Ее конкретный вид определяется расположением полостей относительно оси Z . В нашем случае это $\operatorname{sn}(u+iv|m)$, $0 \leq m \leq 1$, переводящая прямоугольник $0 \leq |u| \leq K(m)$, $0 \leq |v| \leq K'(m)$ в плоскость с разрезами вдоль отрезков действительной оси $1 \leq |z| \leq m^{-1/2}$, K, K' — четвертьпериоды функции sn . Отрезкам $u=u_0$ отвечают конфокальные биперкулярные кривые четвертого порядка [12], по предположению, сечения оптимальной границы. Переход в (3) к переменной $\xi = \operatorname{dn}(v, |1-m)$ позволяет выразить правую часть через интегралы от элементарных функций и эллиптические; но из-за громоздкости таких выкладок интеграл брался численно для 30–50 равноотстоящих значений параметра $z_0 \in [b_1, b_2]$, а коэффициенты параболы в левой части (3) находились затем методом наименьших квадратов. Для всех m и u_0 дисперсия не превышала $8 \cdot 10^{-5}$.

На фиг. 1 показана найденная зависимость отношения $1 \leq q_3/q_2 \leq 2$ от $m_1 = (1-\sqrt{m})^2/(1+\sqrt{m})^2$ при разных значениях $\operatorname{sn}(u_0/m)$. Величина m наряду с масштабным множителем является, как и в плоском случае [3], независимым геометрическим параметром, определяющим толщину перемычки между полостями. Конкретный вид Γ , полученный иным способом, приведен в [10].

Для интервала $0 \leq q_3/q_2 \leq 1$ использовалось отображение $z+ir=Z(u+iv|m) + \pi(u+iv)/2KK'$ (Z — дзета-функция Якоби [11]), переводящее прямоугольник во внешность двух разрезов, параллельных оси r . Хотя Z — неэллиптическая функция, а значит, не разделяет переменные, здесь также получаются удовлетворительные результаты с дисперсией не выше $7 \cdot 10^{-4}$. Увеличение дисперсии на порядок связано, видимо, с погрешностью при вычислении дзета-функции, тогда как в предыдущем случае эллиптические функции фактически не вычислялись — использовались лишь известные алгебраические соотношения [11] между их квадратами.

Надо отметить, что вопрос существования и единственности решения обратной трехмерной задачи для многосвязной области совершенно не исследован, поэтому не исключено наличие оптимальной границы при $n=2$ в других классах поверхностей.

В гидродинамической постановке обратной задачи функция $\varphi(z, r)$ отождествляется с потенциалом, а второе из условий (2) — с граничным условием обтекания системы твердых тел в форме оптимальных полостей. Тогда первое условие в (2) позволяет свести определение ее присоединенной массы m_z в направлении z к вычислению площади G их меридионального сечения

$$m_z = - \int_0^{2\pi} d\theta \int_{\Gamma} \varphi(z, r) \frac{\partial \varphi}{\partial \nu} d\Gamma = 2\pi a \int_{\Gamma} z \frac{\partial z}{\partial \nu} d\Gamma = 2\pi G a$$

В частности, при $q_3 \rightarrow 0$ полости вырождаются в круговые разрезы, параллельные плоскости $z=0$.

На фиг. 2 представлена найденная численной экстраполяцией сплайнами зависимость m_z для двух плоских дисков единичного радиуса от ρ — половины расстояния между ними; m_z отнесена к присоединенной массе одиночного диска.

Автор благодарит Н. В. Баничука, К. А. Лурье и А. В. Черкаева за полезное обсуждение результатов работы.

1. Баничук Н. В. Оптимизация форм упругих тел. М.: Наука, 1980. 256 с.
2. Вигдергауз С. Б. Обратная задача трехмерной теории упругости. — Изв. АН СССР. МТТ, 1983, № 2, с. 90–93.
3. Черепанов Г. П. Обратные задачи плоской теории упругости. — ПММ, 1974, т. 38, вып. 6, с. 963–979.
4. Вигдергауз С. Б. Интегральное уравнение обратной задачи плоской теории упругости. — ПММ, 1976, т. 40, вып. 3, с. 566–569.
5. Вигдергауз С. Б. Условия оптимальности в осесимметричных задачах теории упругости. — ПММ, 1982, т. 46, вып. 2, с. 278–282.
6. Сретенский Л. Н. Теория ньютоновского потенциала. М.—Л.: Гостехиздат, 1946. 318 с.
7. Вигдергауз С. Б. Одна точная оценка коэффициентов присоединенных масс. — ПММ, 1985, т. 49, вып. 1, с. 163–166.
8. Бердичевский В. Л. Вариационные принципы механики сплошной среды. М.: Наука, 1983. 447 с.
9. Паргон В. З., Перлин П. И. Интегральные уравнения теории упругости. М.: Наука, 1977. 311 с.
10. Вигдергауз С. Б. Оптимальные полости в упругом пространстве с осевой симметрией. — Изв. АН АрмССР. Механика, 1984, т. 37, № 3, с. 51–58.
11. Бейтмен Г., Эрдейи А. Высшие трансцендентные функции. Т. 3. М.: Наука, 1967. 299 с.
12. Савелов А. А. Плоские кривые. М.: Физматгиз, 1960. 293 с.

Ленинград

Поступила в редакцию
12.III.1985

О ВЛИЯНИИ АДСОРБЦИИ ГАЗОВ НА ТРЕЩИНОСТОЙКОСТЬ КВАЗИХРУПКИХ МЕТАЛЛОВ

ДАЛЬ Ю. М.

Отмечается, что в квазихрупких металлах работа пластической деформации γ_p является функционалом, зависящим от поверхностной энергии материала γ_c . В условиях плоской деформации и равновесной трещины $\gamma_p \sim \gamma_c^{1/2}$. Выведены теоретические зависимости, позволяющие оценить влияние физической адсорбции газов на величину γ_p .

1. Энергетическое условие квазихрупкого разрыва имеет вид [1]:

$$\delta W / \delta s = a_p + 2\gamma_c \quad (1.1)$$

Здесь δW — изменение энергии деформации при увеличении площади трещины на величину δs , γ_c — поверхностная энергия материала, a_p — работа пластических деформаций ϵ_p у вершины трещины.

Согласно экспериментам [2] $\epsilon_p = \epsilon_p^* + \epsilon_p'$, где ϵ_p^* — пластическая деформация, развивающаяся у конца равновесной трещины до возникновения у ее вершины микроразрыва сплошности, ϵ_p' — дополнительная пластическая деформация, обусловленная появлением микроразрыва.

Очевидно $a_p = \gamma_p + \gamma_p'$. Здесь γ_p — работа пластических деформаций ϵ_p^* , γ_p' — работа пластических деформаций ϵ_p' (для металлов $\gamma_p \gg \gamma_p' > \gamma_c$).

Поскольку величина ϵ_p^* определяется силами сцепления смежных атомов материала перед концом трещины [3], то

$$\gamma_p = f(\gamma_c) \quad (1.2)$$

Таким образом, в критерии разрушения (1.1) энергия γ_c не является простым аддитивным слагаемым и служит своеобразным «клапаном», регулирующим работу γ_p , а следовательно, и a_p . На это обстоятельство обратилось внимание в [4–6].

Среда воздействует на поверхностную энергию γ_c в вершине трещины, изменяя ее за счет адсорбции и диффузии своих реагентов. В силу функциональной связи (1.2) это приводит к изменению величин γ_p и a_p . Конкретизируем вид соотношения (1.2) для тела с прямолинейным равновесным разрезом в условиях плоской деформации. Поместим начало декартовой системы координат xu в вершину разреза, ось x направим вдоль его берегов. Следуя [7], имеем

$$\gamma_p = \frac{1}{\delta l} \int_0^{\delta l} \sigma_y^*(x) 2v_y^*(x) dx \quad (1.3)$$

Здесь $\sigma_y^*(x)$ и $v_y^*(x)$ — соответственно напряжения и перемещения у оси x в момент появления на ней микроразрыва сплошности длиной δl .

С математической точки зрения $v_y^*(x)$ и $\sigma_y^*(x)$ непрерывные функции, причем